

## ПРИМЕНЕНИЕ РЕЗУЛЬТАТОВ ОБРАТНЫХ РЕОЛОГИЧЕСКИХ РАСЧЕТОВ К ОПРЕДЕЛЕНИЮ УСТОЙЧИВОСТИ И ДЕФОРМИРУЕМОСТИ СКЛОНОВ<sup>1</sup>

Член-корр. АН АрмССР, профессор, докт. техн. наук Г. И. ТЕР-СТЕПАНИЯН<sup>2</sup>  
и физик С. С. СИМОНЯН<sup>3</sup>

*Реферат.* Описываются методы обратных расчетов склонов, позволяющие определить реологические параметры сопротивления и ползучести грунтов *in-situ*. Обратные расчеты перворазовых оползней в начальный момент обрушения дают значение полевого пикового сопротивления сдвигу грунта, а в конечный момент—полевого остаточного сопротивления сдвигу. При анализе двух и более оползней, развивающихся в одинаковых геологических и гидрогеологических условиях, возможно получение всех параметров сопротивления сдвигу. Полученные параметры сопротивления сдвигу могут быть применены при решении задачи устойчивости склонов. Приводится пример обратного расчета обрушившейся земляной плотины. Обратный расчет склона, находящегося в фазе глубинной ползучести, позволяет определить реологические параметры ползучести—предел ползучести и вязкость грунта. Приводятся формулы для использования результатов инклинометрических измерений на склонах при определении реологических параметров ползучести. Полученные параметры ползучести могут быть применены при решении задачи деформируемости склонов. Реологические параметры грунтов, полученные путем обратных расчетов, свободны от ограничений, связанных с масштабным эффектом, небольшой длительностью лабораторных испытаний и влиянием нарушения структуры при взятии образцов и их испытании; будучи средними величинами, они являются более надежными, чем лабораторные данные, и требуют меньших значений коэффициента запаса.

Следует различать две основные проблемы, относящиеся к поведению склонов: устойчивость склонов и деформируемость склонов. Рассмотрим их последовательно.

### УСТОЙЧИВОСТЬ СКЛОНОВ

*Постановка задачи.* Проблема устойчивости склонов является наиболее старой и практически наиболее важной. Решение задачи основано на сравнении удерживающей и смещающих сил, действующих на грунтовые или скальные массы, ограниченные поверхностью скольжения. Для определения удерживающих сил применяются результаты лабораторных испытаний на сдвиг. Параметры сопротивления сдвигу, получаемые испытанием в различных типах приборов (трехосного сжатия, простого сдвига, кольцевого сдвига и пр.), рассматриваются как независящие от времени.

Этот подход имеет серьезные ограничения, так как лабораторные опыты проводятся довольно быстро и образцы грунта малы. Известно, что сопротивление сдвигу грунтов уменьшается со временем и стремится к значительно меньшей по величине длительной прочности. Далее, за исключением испытаний в кольцевом приборе, смещения в

<sup>1</sup> Доклад, представленный Третьему Международному конгрессу по инженерной геологии в Мадриде в 1978 г.

<sup>2</sup> Зав. Лабораторией геомеханики ИГИС АН АрмССР.

<sup>3</sup> Старший инженер Лаборатории геомеханики ИГИС АН АрмССР.

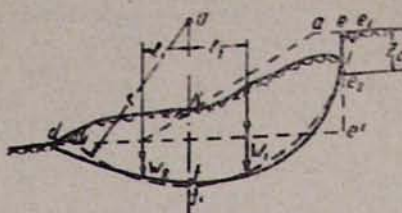


Рис. 1. Обратный расчет оползня (по Терцаги и Пеку, 1958, с добавлением);  $z_c$  — глубина трещины растяжения.

ъц. 1. Առաջնական բարձրացում (Տերցագի և Պէկ, 1958, ավելացումով).

$z_c$  — ճշգանձն ճեղքի խորությունը  
Fig. 1. Back analysis of a slide (after Terzaghi & Peck 1948, with addition);  $z_c$  is the depth of a tension crack.

зоне сдвига образцов при испытании весьма малы по сравнению с теми, которые происходят в природе. Известно, что сопротивление сдвигу грунтов при больших деформациях уменьшается и стремится к значительно меньшему остаточному сопротивлению сдвигу. Наконец, во всех типах лабораторных опытов возможность моделирования сложных геологических и гидрогеологических особенностей конкретных склонов полностью исключена. В этих условиях расчеты устойчивости склонов, основанные на лабораторных параметрах сопротивления сдвигу, могут оказаться недостаточными и может быть призвано более целесообразным применение данных, найденных из анализа поведения склонов в природной обстановке.

Эта вероятность была впервые показана Терцаги и Пеком (1958), которые описали метод определения среднего сопротивления сдвигу грунтов на основе данных об оползании (рис. 1). Полевыми измерениями устанавливается глубина трещины растяжения  $z_c$  и форма поверхности скольжения; реальная линия скольжения  $dfe$  заменяется дугой круга  $d_1f_1e_1$ , имеющей радиус  $r$  и центр  $O$ . Из условия равновесия получаем сопротивление сдвигу  $s$  в начале обрушения

$$s = (W_1 l_1 - W_2 l_2) / r \cdot d_1 e_2, \quad (1)$$

где  $W_1$  — вес полоски  $akfc$ , которая вызывает обрушение, и  $W_2$  — вес полоски  $kbd_1f$ , которая сопротивляется ему. Этот метод не может быть применен, если поверхность скольжения даже приближенно невозможно заменить дугой круга.

#### Определение параметров сопротивления сдвигу обратным расчетом

Целесообразно проанализировать эту проблему дальше. Предположим, что грунты являются нетрещиноватыми, переконсолидированными глинами и что на склоне до того не происходило оползней, то есть обрушение является перворазовым оползнем (Skempton, 1970). Тело  $dbkaf$  соответствует началу натурного эксперимента. Так как пиковые условия достигаются после сравнительно малых смещений, полученное значение сопротивления сдвигу  $s$  (уравнение 1) равняется среднему значению полевого пикового сопротивления сдвигу  $\bar{\tau}_t$

$$\bar{\tau}_t = (W_1 l_1 - W_2 l_2) / r \cdot d e_2 \quad (2)$$

Оно соответствует среднему полному нормальному напряжению  $\bar{\sigma}$

$$\bar{\sigma} = (W_1 + W_2) / d e_2, \quad (3)$$

где  $de'$  — проекция поверхности скольжения на горизонталь. Очевидно, что положение тела  $dgkhf$  должно рассматриваться как конец натурного эксперимента и соответствовать остаточным условиям. Применяя ту же операцию, получаем среднее значение полевого остаточного сопротивления сдвигу

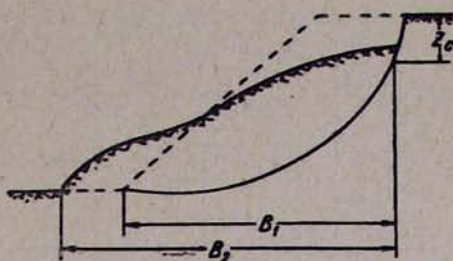
$$\bar{\tau}_r = (W'_1 l_1 - W'_2 l_2) / r \cdot d e_2, \quad (4)$$

где  $W'_1$  — вес полоски  $hkf$  и  $W'_2$  — вес полоски  $dgkf$ . Вычитывая из

Рис. 2. Горизонтальная проекция оползневого тела в начале ( $B_1$ ) и в конце ( $B_2$ ) обрушения склона;  $z_c$  — глубина трещины

Ч. 2. Աղաբեկին մարմել եղիքը ական պրոյեկցիան լանջի վրան սկզբում ( $B_1$ ) և վերջում ( $B_2$ ).  $z_c$  — ծառան հեղին խորովածներ.

Fig. 2. Horizontal projection of the sliding body at the beginning ( $B_1$ ) and at the end ( $B_2$ ) of the slope failure;  $z_c$  In the depth of a tension crack.



среднего полного нормального напряжения  $\bar{\sigma}$  поровое давление, действующее по поверхности скольжения, полученное путем прямых измерений на склоне или на основании оценок, получим среднее эффективное нормальное напряжение  $\bar{\sigma}'$ .

Различаются случаи обрушения основания и обрушения склона (Терцаги и Пек, 1958). На рис. 1 показан случай обрушения основания; легко видеть, что в этом случае горизонтальная проекция после обрушения заметно не изменяется. Поэтому среднее нормальное напряжение  $\bar{\sigma}$  остается неизменным, если только не имела места потеря оползшего материала. В случае обрушения склона (рис. 2) поверхность скольжения пересекает поверхность склона у его подошвы или выше его, и горизонтальная проекция  $B_1$  контакта оползневого тела с его ложем может существенно измениться ( $B_2 > B_1$ ); поэтому должно быть внесено соответствующее изменение в вычислении  $\bar{\sigma}$  (ур. 3).

Применяя уравнение Скемптона (1967) для остаточных условий

$$\tau_r = c_r + \sigma' \operatorname{tg} \varphi_r, \quad (5)$$

где  $c_r \approx 0$ , получаем параметр полевого сопротивления сдвигу

$$\operatorname{tg} \varphi_r = \tau_r / \bar{\sigma}'. \quad (6)$$

Если в одних и тех же геологических условиях были измерены два или несколько оползней, то можно получить более полную информацию о полевом сопротивлении сдвигу грунтов. Для большего обобщения допустим, что первый оползень представляет собой обрушение основания, а второй оползень — обрушение склона. Обозначим составляющие среднего напряжения, действующие на поверхность скольжения в начале первого оползня через  $\bar{\sigma}'_1$  и  $\tau_{1r}$ , а в конце  $\bar{\sigma}'_1$  и  $\tau_{1r}$ ; то же для второго оползня в начале  $\bar{\sigma}'_2$  и  $\tau_{2r}$  и в конце  $\bar{\sigma}'_2$  и  $\tau_{2r}$ ; условно принято, что поровое давление отсутствует.

На рис. 3 в координатной системе  $(\bar{\sigma}' - \tau)$  показаны средние полевые значения напряжения. Проводя прямую через точки, соответствующие пиковым условиям, получаем линию разрушения  $AB$  Кулон-на-Терцаги с параметрами среднего полевого пикового сопротивления сдвигу  $c'$  и  $\varphi'$  и среднего полевого всестороннего давления связности  $\sigma_0 = c' \operatorname{ctg} \varphi'$ , выраженных через эффективные напряжения. Проделывая ту же процедуру в отношении точек, соответствующих остаточным условиям, находим линию обрушения  $CD$  Скемптона с параметрами среднего полевого остаточного сопротивления сдвигу  $c_r$  и  $\varphi_r$ , выраженными через эффективные напряжения.

Описанная методика делает возможным определение значений параметров полевого сопротивления грунта, свободных от ограничений

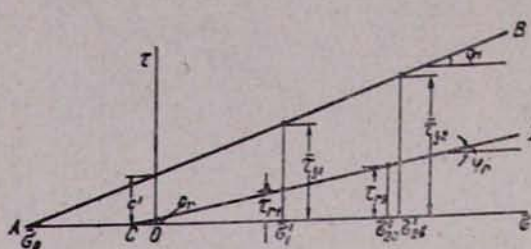


Рис. 3. Полевые значения параметров сопротивления сдвигу грунта в пиковых (AB) и остаточных (CD) условиях, полученные путем обратного расчета двух оползней. Первый оползень является обрушением основания, а второй — обрушением склона. В последнем случае средние нормальные напряжения в начале ( $\bar{\sigma}_{2b}$ ) и в конце ( $\bar{\sigma}_{2e}$ ) обрушения несколько отличаются друг от друга, см. рис. 2.

նկ. 3. Երկու սոլանեների հակադարձ հաշվարկի միջոցված այլային և մասնագիտային պայմաններում գումար սահման դիմուրության պահանջմանը պատճառաբար արձենքեր: Առաջնայինը հիմուն փուլում է, իսկ երկրորդը՝ լանջի փուլում: Վերջին զնուրած միջին նորմալ շերտանը փուլան սկզբում ( $\bar{\sigma}_{2b}$ ) և վերջում ( $\bar{\sigma}_{2e}$ ) մի փոքր տարրերվում է և մեկը մյուսից, տե՛ս նկ. 2:

Fig. 3. Field values of the shear strength parameters of soils for the peak and residual conditions obtained by back analysis of two slides. The first slide is a base failure and the second one is a slope failure. In the last case the average normal stresses at the beginning ( $\bar{\sigma}_{2b}$ ) and at the end ( $\bar{\sigma}_{2e}$ ) of failure differ slightly from one another, see Fig. 2.

ний, вызванных неизбежным нарушением грунта во время взятия образцов, масштабным эффектом и невозможностью моделирования геологических и гидрогеологических условий.

Более того этот метод позволяет оценить напряженное состояние других склонов, находящихся в тех же геологических условиях. Средний коэффициент мобилизованного сопротивления сдвигу  $\operatorname{tg}\bar{\theta}$  по потенциальной поверхности скольжения для любого склона будет равен

$$\operatorname{tg}\bar{\theta} = \bar{\tau} / (\bar{\sigma}_0 + \bar{\sigma}'). \quad (7)$$

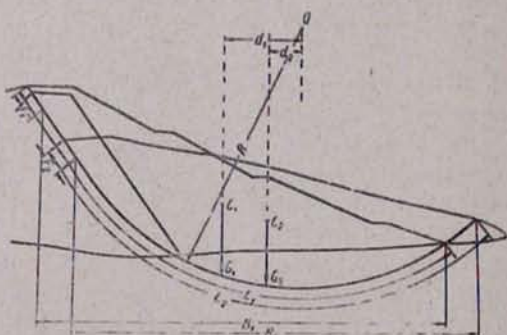
Эта поверхность должна быть найдена применением известного метода пробного определения положения наиболее опасной дуги круга скольжения.

Опасность оползания или развития глубинной ползучести может быть оценена степенью мобилизации сопротивления сдвигу  $D_m$

$$D_m = \bar{\tau} / \tau_i = \operatorname{tg}\bar{\theta} / \operatorname{tg}\bar{\phi}' = 1/F, \quad (8)$$

Рис. 4. Обратный анализ обрушения откоса земляной плотины; попечечное сечение плотины до и после обрушения.

նկ. 4. Հաղային ամրացակի շերտի հակադարձ հաշվարկ. Ամրացակի բայնակի կորցածքը մինչև փուլը և փուլից հետո



В качестве примера применения указанных положений произведем анализ оползания низового откоса земляной плотины у ее примыкания. Примыкание сложено глинистым склоновым делювием. Плотина имеет укатанное глинистое ядро и призмы из суглинка. Разрез по оси оползня плотины показан на рис. 4.

По данным полевых измерений, поверхность скольжения в верхней части склона, в пределах стенки отрыва, плоская, а далее она постепенно переходит в круглоцилиндрическую.

Поверхность скольжения проходит через глинистое ядро плотины делювий в основании плотины, захватывая последний до глубины 00 м. Центр круглоцилиндрической поверхности скольжения находится в точке  $O$ . Радиус поверхности скольжения  $R = 59$  м. На рис. 4 показано сечение плотины до обрушения и спустя 3 месяца после него.

Расчет устойчивости склонов произведен методом полосок. Во избежание затемнения чертежа, полоски на рис. 4 не показаны, а вместо этого дано положение центра тяжести оползневого тела ( $C_1$ —начале обрушения,  $C_2$ —конце). Плотность грунта  $\rho = 1700 \text{ кг}/\text{м}^3$ . Результаты подсчетов даны в таблице. Отсюда один из параметров склонового сопротивления сдвигу будет (ур. 6)  $\operatorname{tg}\varphi = 35,0/179 = 0,195$ , или  $\varphi = 11^\circ$ .

Измерения оползневого тела в начальной (I) и конечной (II) фазах

и результаты подсчетов даны в таблице. Отсюда один из параметров

Measures of sliding body in initial (I) and final (II) phases

			I	II
Объем, $\text{м}^3$	Объем, $\text{м}^3$	Volume, $\text{m}^3$	$V_1 = 1751,5$	$V_2 = 1766$
Масса, $\text{кг} \times 10^3$	Масса, $\text{кг} \times 10^3$	Mass, $\text{kg} \times 10^3$	$M_1 = 2978$	$M_2 = 3002$
вес, МН	вес, МН	Weight, MN	$G_1 = 29,2$	$G_2 = 29,45$
плечо, м	плечо, м	Arm, m	$d_1 = 17,5$	$d_2 = 7,5$
длина дуги, м	длина дуги, м	Length of arc, m	$L_1 = 117$	$L_2 = 112$
глубина трещины, м	глубина трещины, м	Depth of fissure, m	$F_1 = 7,0$	$F_2 = 5,0$
Проекция, м	Проекция, м	Projection, m	$B_1 = 92,5$	$B_2 = 90,5$
Сопротивление сдвигу, кПа	Сопротивление сдвигу, кПа	Shear strength, kPa	$\tau_1 = 78,7$	$\tau_2 = 35,0$
Среднее полное нормальное напряжение, кПа	Среднее полное нормальное напряжение, кПа	Average total normal stress, kPa	$\sigma_1 = 316$	$\sigma_2 = 325$
Среднее отношение порового давления	Среднее отношение порового давления	Average pore pressure ratio	$r_{u1} = 0,46$	$r_{u2} = 0,45$
Среднее поровое давление, кПа	Среднее поровое давление, кПа	Average pore pressure, kPa	$u_1 = 145$	$u_2 = 146$
Среднее эффективное норм. напряжение, кПа	Среднее эффективное норм. напряжение, кПа	Average effective norm. stress, kPa	$\sigma'_1 = 171$	$\sigma'_2 = 179$

### ДЕФОРМИРУЕМОСТЬ СКЛОНОВ

#### Постановка задачи

Геологические данные показывают, что горные склоны часто медленно деформируются; в большинстве случаев оползни не происходят внезапно и обрушению предшествует длительный период подготовительных движений. Медленные деформации грунтов и скальных пород возникают не только в поверхностном слое, но и на значительной глубине. Глубинная ползучесть склонов происходит со скоростями, измеряемыми сантиметрами и дециметрами в год; скорость глубинной ползучести изменяется в зависимости от интенсивности действия оползнеобразующих факторов. Поэтому наблюдения за скоростью глубинной ползучести дают возможность определять деформированное состояние склона, предсказывать его поведение и устанавливать эффективность борьбы с оползнями.

Проблема деформируемости склонов сравнительно новая. Ее зна-

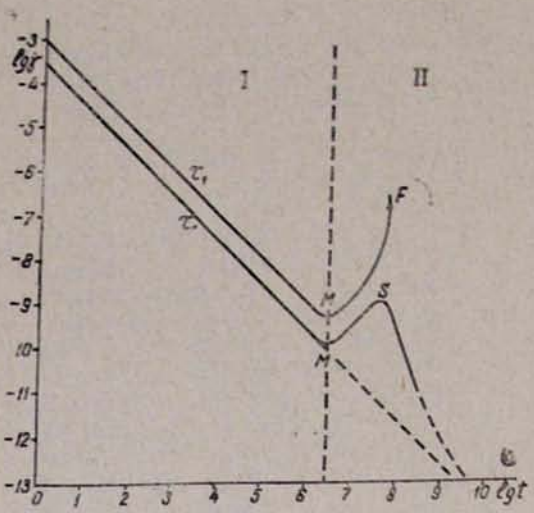


Рис. 5. Зависимость между логарифмами времени  $t$  и скорости ползучести  $\eta$  при высоком уровне касательных напряжений ( $\tau_1$ ) и при промежуточном уровне напряжений ( $\tau_2$ ). I—фаза мобилизации; II—фаза разрушения;  $M$ —предел мобилизации,  $S$ —предел стабилизации,  $F$ —разрушение.

Նկ. 5. Բարձր ( $\tau_1$ ) և միջնական ( $\tau_2$ ) տեղապահության դեպքերի մակարդակի համար ժամանակի և կամաց սովոր շաղագործական լուսափառմաների միջև հաշարեալիքները. I—մոբիլիզացման փուլ, II—քայլարձան փուլ.  $M$ —մոբիլիզացման սահմանի,  $S$ —ստաբիլիզացման սահմանի,  $F$ —քայլարձությունը.

Fig. 5. Relation between logarithms of time  $t$  and creep rate  $\eta$  of a clay at high ( $\tau_1$ ) and at intermediate ( $\tau_2$ ) stress levels. I is the mobilization phase, II is the rupture phase,  $M$  is the mobilization limit,  $S$  is the stabilization limit,  $F$  is the failure.

чение еще не является общепризнанным. Скорость глубинной ползучести вычисляется по уравнениям, содержащим вязкость грунта. Последняя может быть определена различного типа приборами (вискоизметры, сдвиговые приборы, прибор трехосного сжатия и т. д.).

Определение вязкости грунтов в лабораторных условиях связано с теми же ограничениями, которые были указаны выше для определения сопротивления сдвигу грунтов: продолжительность опытов недостаточно велика, образцы малы, неизбежно нарушение структуры грунтов во время взятия образцов и невозможно удовлетворительно моделировать геологические особенности. Поэтому и в этом случае применение полевых измерений является весьма желательным.

Возможность использования полевых измерений для определения коэффициентов вязкости  $\eta$  (для вязкого течения по Ньютону) и пластичности  $\eta'$  (для пластического течения по Бингему) была впервые показана Н. Н. Масловым (1955). Г. И. Тер-Степанян (1965) описал метод определения двух основных реологических параметров грунтов—коэффициента вязкости  $\eta$  и предела пластического течения (предела ползучести)  $\tau_p$ . Этот метод основывается на результатах измерения деформации вертикальной линии (оси деформационного колодца, буровой скважины, заполненной деревянными чушками и т. д.) и их интерпретации. Для определения реологических характеристик *in-situ* успешно могут быть применены также измерения глубинной ползучести грунтов на склонах с помощью наклонометров.

#### Уравнения реологического поведения грунтов при сдвиге

Анализ глубинной ползучести склонов основывается на результатах исследования ползучести грунтов при сдвиге. Детально они были опубликованы в другом месте (Тер-Степанян, 1976 а и б). Вкратце эти результаты могут быть суммированы следующим образом. Если действующее на грунт напряжение ниже его предельной прочности, но выше некоторого порогового значения (предела ползучести  $\tau_p$ ), то он медленно деформируется или ползет; это явление хорошо известно для большинства материалов. Хотя ползучесть обнаруживается при любом виде напряжения, наиболее отчетливыми являются деформации ползучести при сдвиге. Исследование ползучести глины при сдвиге пролило свет на довольно сложное поведение грунтов.

Процесс ползучести состоит из трех фаз: мобилизации, разрушения и стабилизации. В фазах мобилизации и стабилизации скорость ползучести уменьшается пропорционально времени, а в фазе разрушения она увеличивается. Переходы от одной фазы к другой называются пределами мобилизации  $M$  и стабилизации  $S$ . При высоких уровнях касательных напряжений ( $\tau_1$ ) процесс ползучести после предела мобилизации заканчивается разрушением  $F$  (рис. 5). При промежуточных уровнях касательных напряжений ( $\tau_2$ ) скорость ползучести увеличивается лишь до предела стабилизации  $S$ , а потом вновь постепенно уменьшается. После очень большого времени кривая скорости ползучести постепенно приближается к продолжению начального участка графика. Отсюда следует, что длительное поведение грунтов определяется параметрами ползучести в фазе мобилизации.

Скорость ползучести  $\dot{\gamma}$  в фазе мобилизации связана с касательным напряжением  $\tau$  соотношением

$$\dot{\gamma} = (\tau - \tau_p) / \zeta t, \quad (9)$$

где  $\zeta$  — статическая вязкость грунта: этот параметр величина постоянная для данного нормального напряжения. Сравнивая это выражение с хорошо известным уравнением Бингема

$$\dot{\gamma} = (\tau - \tau_p) / \eta, \quad (10)$$

где  $\eta$  — динамическая вязкость грунта, находим

$$\eta = \zeta t, \quad (11)$$

т. е. что динамическая вязкость грунтов прямо пропорциональна времени или возрасту касательных напряжений.

Значения предела ползучести  $\tau_p$  и статической вязкости  $\zeta$  связаны с эффективным нормальным напряжением  $\sigma'$  соотношением:

$$\tau_p = C_p(\sigma_0 + \sigma'); \quad (12)$$

$$\zeta = C_\zeta(\sigma_0 + \sigma'), \quad (13)$$

где  $C_p$  и  $C_\zeta$  безразмерные показатели ползучести.

#### *Напряженное состояние бесконечного склона*

Задача определения напряженного состояния решена в замкнутой форме только для случая бесконечного склона (Тейлор, 1960), т. е. длинного склона, имеющего постоянный наклон  $\beta$  и одинаковый вертикальный разрез в любом месте склона (рис. 6). В бесконечном склоне деформирование совершается вдоль площадок, параллельных поверхности склона; на такую площадку действует полное вертикальное напряжение  $p_v$

$$p_v = \rho g z \cos \beta, \quad (14)$$

где  $\rho$  — плотность грунта;  $g$  — ускорение силы тяжести,  $z$  — глубина рассматриваемой площадки от поверхности склона; это напряжение образует угол отклонения  $\beta$  с нормалью к площадке.

Полное нормальное  $\sigma_z$  и касательное  $\tau_z$  напряжения, действующие на указанную площадку, составляют:

$$\sigma_z = \rho g z \cos^2 \beta; \quad (15)$$

$$\tau_z = \rho g z \cos \beta \sin \beta. \quad (16)$$

Линии  $KL$  и  $MN$  на рис. 6 представляют собой эпюры полного нормального и касательного напряжений.

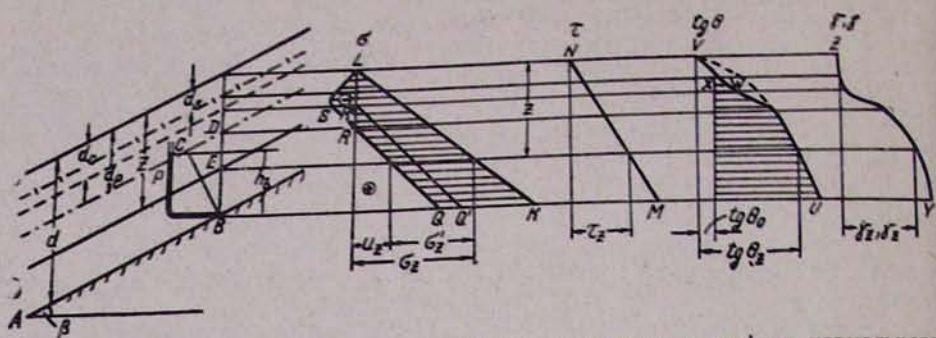


Рис. 6. Ползучесть бесконечного склона. Разрез через склон и графики нормального напряжения  $\sigma$ , касательного напряжения  $\tau$ , коэффициента мобилизованного сопротивления сдвигу  $\operatorname{tg}\theta_0$ , скорости деформации  $\dot{\gamma}$  и величины деформации  $\gamma$  в произвольном сечении склона.

Անվերջ լանջի տպոգր: Հանդի միջով կտրվածք և ցանկացած կտրվածքում  $\sigma$  նորմալ,  $\tau$  շահափող լարումների, սահման մորթիկազգած զիմագրության  $\operatorname{tg}\theta_0$  գործակցի, զեֆորմացիա-ի  $\dot{\gamma}$  արագության և  $\gamma$  մեծության գրաֆիկները:

Fig. 6. Creep of an infinite slope. The cross section through the slope and diagrams of the normal stress  $\sigma$ , the shear stress  $\tau$ , the coefficient of mobilized shear strength  $\operatorname{tan}\theta_0$ , the strain rate  $\dot{\gamma}$  and the magnitude of the strain  $\gamma$  in any section of the slope.

Нейтральное давление в глине определяется положением пьезометрического уровня; в бесконечном склоне пьезометрический уровень и линии тока параллельны поверхности склона, а эквипотенциальные линии  $BC$  перпендикулярны к ней (рис. 6). Если пьезометрический уровень находится на глубине  $d_p$  от поверхности склона, а мощность слоя глины равна  $d$ , то длина эквипотенциальной линии  $BC$  будет  $(d-d_p)\cos\beta$ , а напор в точке  $B$ , измеряемый пьезометром  $P$ , составит  $h_B=(d-d_p)\cos\beta$ . Напор в точке  $D$  (на пьезометрической поверхности) равен нулю. Напор в произвольной точке  $E$ , на глубине  $z$  от поверхности, пропорционален расстоянию от пьезометрического уровня

$$h_z = (z - d_p) \cos^2\beta. \quad (17)$$

Нейтральное давление в этой точке составит

$$u_z = \rho_w g (z - d_p) \cos^2\beta, \quad (18)$$

где  $\rho_w$  — плотность воды.

Линия  $QR$  представляет собой эпюру нейтрального напряжения в глинистом грунте (рис. 6). При колебании пьезометрического уровня, например, при его повышении, положение линии нейтрального напряжения также изменяется (линия  $Q'R'$ ). Линия  $QR$  нейтрального напряжения продолжается вверх над пьезометрическим уровнем в ту часть этой области, в которой грунт полностью водонасыщен; здесь нейтральное напряжение (линия  $RS$ ) является отрицательным (капиллярное давление). Выше горизонта полного водонасыщения (глубина  $d_c$ ) располагается зона неполностью водонасыщенного грунта, капиллярные силы уменьшаются и поэтому отрицательное нейтральное напряжение постепенно исчезает (линия  $SL$ ). Отсюда видна важная роль определения глубины зоны водонасыщенного грунта для анализа напряженного состояния склонов.

Заштрихованная часть эпюры  $\sigma$  изображает распределение эффективных напряжений. На глубине  $z$  оно равно

$$\sigma'_z = \sigma_z - u_z = (\rho' z + \rho_w d_p) g \cos^2\beta. \quad (19)$$

Напряженное состояние склонов целесообразно выражать через коэффициент мобилизованного сопротивления сдвигу  $\operatorname{tg}\theta$ , равного отношению касательного напряжения  $\tau$  к сумме всестороннего давления связности  $\sigma_0$  и эффективного нормального напряжения  $\sigma'$

$$\operatorname{tg}\theta = \tau / (\sigma_0 + \sigma'). \quad (20)$$

#### *Определение геологических характеристик грунтов in-situ*

Подставив в уравнение (20) значения напряжений  $\tau_z$  и  $\sigma_z$  из уравнений (16) и (19), получим

$$\operatorname{tg}\theta_z = \rho z \operatorname{tg}\beta / (A + \rho' z), \quad (21)$$

где

$$A = \sigma_0/g \cos^2\beta + \rho_w d_p \quad (22)$$

с размерностью  $[ML^{-2}]$ .

Функция (20) для положительных значений  $z$  определенная и непрерывная; она монотонно возрастает и при значениях  $\rho' z$  существенно больших, чем  $\rho_w d_p$ , стремится к  $(\rho/\rho') \operatorname{tg}\beta \approx 2 \operatorname{tg}\beta$ . Отсюда для проочень грубых прикидок можно принять, что длинные склоны, в которых пьезометрический уровень находится у поверхности склона, оползывают, если тангенс угла наклона превышает половину тангенса угла эффективного внутреннего трения  $\operatorname{tg}\beta > 0,5 \operatorname{tg}\varphi'$ .

На рис. 6 показана эпюра  $UV$  коэффициента мобилизованного сопротивления сдвигу  $\operatorname{tg}\theta$ . Неправильность  $W$  в ее форме вызвана отрицательным (капиллярным) давлением, которое ведет к местному увеличению эффективных напряжений в зоне капиллярного насыщения. Отложив на той же эпюре значение порога ползучести  $\operatorname{tg}\theta_p$ ,

$$\operatorname{tg}\theta_p = \tau_p / (\sigma_0 + \sigma'), \quad (23)$$

находим точку  $X$ , определяющую собой глубину  $d_s$  нижней границы зоны жесткости грунта.

$$\operatorname{tg}\theta_p = \rho d_s / A + \rho' d_s \operatorname{tg}\beta. \quad (24)$$

Отсюда следует, что если определить в поле ту глубину  $d_s$  грунта, до которой не имеет места перекашивание, а наблюдается лишь жесткое перемещение, то из уравнения (24) можно найти один из геологических параметров грунта—безразмерный порог ползучести  $\operatorname{tg}\theta_p$ .

В области, расположенной ниже границы жесткости грунта, происходит деформация ползучести. Из уравнений (9) и (13) видно, что скорость  $\dot{\gamma}$  этой деформации составляет

$$\dot{\gamma} = (\tau - \tau_p) / (\sigma_0 + \sigma') C_s t = (\operatorname{tg}\theta - \operatorname{tg}\theta_p) / C_s t.$$

Применяя уравнения (21) и (24), находим отсюда основное уравнение скорости ползучести бесконечного склона.

$$\dot{\gamma}_z = B(z - d_s) / C_s t (A + \rho' z), \quad (26)$$

где

$$B = A \operatorname{tg}\beta / (A + \rho' d_s) \quad (27)$$

с размерностью  $[ML^{-3}]$ .

По сравнению с длительностью существования склона, время  $T$  наблюдения за его ползучестью в большинстве случаев является весьма небольшим; поэтому можно пренебречь изменением динамической вязкости грунта за время наблюдения и считать, что скорость ползучести при неизменности напряженного состояния является постоянной. Отсюда угловая деформация ползучести

$$\gamma_z = \dot{\gamma}_z T. \quad (28)$$

Подставив в уравнение (26) и преобразовав, получим

$$C_{\zeta} t = BT(z - d_s)/\gamma_z (A + \rho' z) \quad (29)$$

с размерностью времени. Линия  $YZ$  на рис. 6 схематически показывает эпюру для  $\zeta$  и  $\gamma_z$ ; из уравнения (28) следует, что для старых склонов эти величины пропорциональны.

Произведение  $C_{\zeta} t$  связано со статической  $\zeta$  и динамической  $\gamma_z$  вязкостями соотношениями, вытекающими из уравнений (11) и (13)

$$C_{\zeta} t = \zeta t / (\sigma_0 + \sigma') = \gamma_z / (\sigma_0 + \sigma'), \quad (30)$$

и представляет собой величину, обратную коэффициенту течения  $\lambda$  (Тер-Степанян, 1961, 1975). Эту величину можно непосредственно получить в полевых условиях, по формуле (29), пользуясь результатами инклинометрических наблюдений. Здесь  $z$  — глубина инклинометра от поверхности склона и  $\gamma_z$  — изменение наклона, произшедшее за время  $T$ . Зная  $C_{\zeta} t$  и пользуясь формулой (29), легко определить средние полевые значения статической и динамической вязкости грунта за исследуемый промежуток времени.

#### Случай очень молодых склонов

Для очень молодых склонов, например, откосов свежеотсыпанных насыпей или земляных плотин, действующих отвалов или откосов свежеоткрытых выемок, в которых время инклинометрических наблюдений соизмеримо с возрастом касательных напряжений, описанный подход к определению угловой деформации может привести к неправильным выводам, поскольку здесь даже при постоянном значении касательных напряжений со временем будет происходить уменьшение скорости ползучести.

Для таких случаев интегрируем основное уравнение скорости ползучести (25) и находим угловую деформацию ползучести грунта, как функцию времени

$$\gamma_z = \frac{B}{C_{\zeta}} \frac{z - d_s}{A + \rho' z} \ln t + C. \quad (31)$$

Для лучшей математической интерпретации заменяем это уравнение следующим:

$$\gamma_z = \frac{B}{C_{\zeta}} \frac{z - d_s}{A + \rho' z} \ln \frac{t + \Delta t}{\Delta t} + C, \quad (33)$$

где  $\Delta t$  — малый промежуток времени, равный единице, например  $\Delta t = 1$  сек. Постоянную интегрирования  $C$  находим из условия: при  $t = t_1$ ,  $\gamma_z = \gamma_{z1}$ , откуда

$$\gamma_z = \gamma_{z1} + \frac{B}{C_{\zeta}} \frac{z - d_s}{A + \rho' z} \ln \frac{t + \Delta t}{t_1 + \Delta t}. \quad (33)$$

Из этого уравнения можно определить второй реологический параметр грунта — безразмерный показатель ползучести  $C_{\zeta}$

$$C_{\zeta} = \frac{2,3 B}{\gamma_z - \gamma_{z1}} \frac{z - d_s}{A + \rho' z} \lg \frac{t + \Delta t}{t_1 + \Delta t}. \quad (34)$$

Входящие в это уравнение значения угловой деформации ползучести непосредственно получаются из инклинометрических измерений, произведенных на глубине  $z$ ;  $t_1$  и  $t$  — возраст касательных напряжений

(возраст склона), а  $\gamma_1$  и  $\gamma_2$  — углы отклонения, измеренные в начальный и конечный момент, соответственно.

Пользуясь полученным значением показателя ползучести  $C$ : для заданного грунта, можно на основании ур. (13) найти полевые значения статической вязкости, а на основании ур. (11)—динамической вязкости грунта на различных глубинах от поверхности в данный момент времени.

## ЗАКЛЮЧЕНИЕ

Применение обратных расчетов оползней в катастрофической фазе дает важную информацию о параметрах полевого сопротивления грунта, необходимых для расчетов устойчивости склонов; применение обратных расчетов склонов, находящихся в фазе глубинной ползучести, позволяет определить параметры полевого реологического поведения, необходимые для расчетов деформируемости склонов. В обоих случаях полученные параметры свободны от ограничений, накладываемых масштабным эффектом, влиянием нарушения при взятии образцов и их испытаний и вызванных небольшой длительностью лабораторных исследований. Будучи средними величинами, они лучше отражают действительное поведение грунтов. По сравнению с ними, результаты лабораторных испытаний менее надежны, поскольку они являются случайными величинами с меньшей вероятностью, поэтому и расчеты, основанные на лабораторных данных, требуют принятия высоких значений коэффициента запаса.

ԼԱՆՁՔԵՐԻ ԿԱՅՈՒՏԱՍՈՒԹՅԱՆ ԵՎ ԶԵՎԱՓՈԽԱԵԼԻՈՒԹՅԱՆ ՈՐՈՇՄԱՆ ՀԱՄԱՐ  
Ո-ԵՈՒՂԻՒՎԱՆ ՀԱԿԱԴԱՐՁ ՀԱՇՎԱՐԴՅԱԲԻ ԱՐԴՅՈՒՆՔՆԵՐԻ ԿԻՐԱԱ-ՈՒՄԸ

ՀԱՅԱ ԳԱ բղր.-աճդ. պրաֆ., տեխն. գիտ. դպրության համար ՏԵՐ-ՍԵՐՖԱՆՑԱՆ 2  
և Հիմնական ՍՎԵՏԱՆԱՆ ՍԻՄՊՈՆՅԱՆ

Ն Ե Ֆ Ե Ր Ա տ. Նկարագրվում են լանջերի հակադարձ հաշվարկների մեթոդները, որոնք բույլ են տալիս որոշել զրունակի դիմացրության և սողորի սեղողգիտական պարամետրերը տեղում Առաջին անգամ տեղի ունեցող սովորակների քայլարման սկզբնական պահի համար հակադարձ հաշվարկները տալիս են զրունակի սահմանի պիկային դիմացրության դաշտային արժեքը, իսկ վերջնական պահին՝ մասնացրության դիմացրության դաշտային արժեքը: Միևնույն երկարանական և գիտաշրաբանական պայմաններում զարգացած երկու և ավելի սողանքների վերլուծման գիպրում կարելի է ստանալ սահմանի դիմացրության բոլոր պարամետրերը: Սահմանի դիմացրության ստացված պարամետրերը կարող են կիրավել լանջի կայունության խնդիրը լուծելիս, բերված է փլամա Հողային ամբարտակի հակադարձ հաշվարկման օրինակը և որոքային սողորի փուլում գտնվող լանջի հակադարձ հաշվարկը թույլ է տալիս որոշել սողորի սեղողգիտական պարամետրերը՝ գրունտի սողորի սահմանը և մածուցիկությունը: Սողորի սեղողգիտական պարամետրերը որոշելու համար արփում են բահածենք, որոնք թույլ են տալիս օգտագործել լանջերի վրա ինկոնստանտներական չափումների արդյունքները: Սողորի ստացված պարամետրերը կարելի է կիրառել լանջերի ձևափոեսելիության խնդիրը լուծելիս: Հակադարձ հաշվարկների եղանակով ստացված գրունտի սեղողգիտական պարամետրերը գերծ են մասշտարային էֆեկտների, լարորատոր փորձարկումների ոչ մեծ տեխնոլոգիան և նմուշը վեցցնելիս ստրուկտորայի խախտման հետ կապված սահմանափակումներից:

<sup>1</sup> Մարդիում 1978 թ. կայացած Խնձեներական երկրաբանության երրորդ միջազգային կոնգրեսին ներկայացված գեներում:

<sup>2</sup> ՀԱՍՀ ԳԱ ԳԻՍԻ գեղոմեխանիկալի լաբորատորիալի վարիչ:

<sup>3</sup> ՀԱՅՀ ԳԱ ԳԻՍԻ գեռմեխանիկայի լաբորատորիայի ավագ ինժեներ:

Չետք է տարբերել լանջի վարքին վերաբերող երկու տարրեր խնդիրներ՝ լանջի կայունությունը և լանջի ձևափոխությունը: Դիտենք դրանք հերթականությամբ:

### Լանջի կայունությունը

Հետք է առաջեցրել լանջի վարքին վերաբերող երկու տարրեր խնդիրներ, լանջի կայունությունը և լանջի ձևափոխությունը: Դիտենք դրանք հերթականությամբ:

Լանջի կայունության հարցի լուծումը որպես տառվել հին և պրակտիկորեն կարևոր խնդիր, չեմնված է առաջի մակերևույթով սահմանափակված գրուման զանգվածի վրա ազդող, պահող և տեղաշարժող ուժերի համեմատության վրա: Պահող ուժերի որոշման համար օգտական են լատրատոր փորձարկման արդյունքներից, որտեղ սահքի դիմադրությունն ընդունվում է ժամանակագրությամբ և առաջի մասնակից արդյունքներից:

Առաջին անգամ Տերցարին և Պեկ (Terzaghi և Peck, 1958) նկարագրեցին գրումափ սահքի միջին դիմադրության որոշման մեթոդը սողանքի շափումների ավշալների հիման վրա (նկ. 1): Դաշտային շափումներով որոշվում է ճգնաժամ ճնշերի չափում խորությունն և սահքի մակերևույթի ճնշը. սահքի իրական ճշե մակերևույթը փոխարինվում է O կենտրոն և r շառավիղ ունեցող շրջանի մեջ: Առաջի մասնակից արդյունքներում սահքի դիմադրության պայմաններ հսկանանք բնակչության ավելի նպատակակից լանջի բարձր անուններում մողելացումը բացազարձ է, ապա կայունության հաշվարկն ավելի նպատակակից լանջի բարձր կամ լանջի բարձր անուններում կատարված լանջի վարքի վերլուծումը գտնված տվյալներով:

Առաջին անգամ Տերցարին և Պեկ (Terzaghi և Peck, 1958) նկարագրեցին գրումափ սահքի միջին դիմադրության որոշման մեթոդը սողանքի շափումների ավշալների հիման վրա (նկ. 1): Դաշտային շափումներով որոշվում է ճգնաժամ ճնշերի չափում խորությունն և սահքի մակերևույթի ճնշը. սահքի իրական ճշե մակերևույթը փոխարինվում է O կենտրոն և r շառավիղ ունեցող շրջանի մեջ: Առաջի մասնակից արդյունքներում սահքի դիմադրության պայմաններ բնակչության ավելի նպատակակից լանջի բարձր անուններում մողելացումը բացազարձ է, ապա կայունության հաշվարկն ավելի նպատակակից լանջի բարձր անուններում կատարված լանջի վարքի վերլուծումը գտնված տվյալներով:

Նպատակահարմար է այս պրոբլեմի վերլուծումը շարունակել: Ենթադրենք, որ գրումափ մեղքով չեւ և սողանքն առաջին անգամ է տեղի ունեցել: Լանջի վրա (Skempton, 1970), մեջեայ մարմինը համապատասխանում է բնական փորձարկման սկզբին: Քանի որ պիկային պայմանները վրա են համեմատարար փորձ տեղաշարժերից հետո, ստացված սահքի դիմադրության և արժեքը (բն. 1) հավասարվում է սահքի դիմադրության դաշտային պիկային ու արժեքին (բն. 2): Բն. 3 ցույց է տալիս համապատասխան նորմալ լարման միջին արժեքը, որտեղ ճե՛ սահքի մակերևույթի պրոյեկցիան է հորիզոնական մակերեւույթի վրա: Ակնհայտ է, որ ցեղի մարմինի դիրքը պետք է դիտել որպես բնական փորձարկման վերը, որը համապատասխանում է մենացորդային պայմաններ: Բն. 4-ը ցույց է տալիս նույն ձևով ստացված սահքի մենացորդային դիմադրության միջին արժեքը, որտեղ W'-ը հեշտ շերտի կշիռն է և W'-ը ցեղի շերտի կշիռը:

Տարրերվում են փլման երկու գեպք՝ հիմքի և լանջի փլում (Terzaghi և Peck, 1958): Նկ. 1-ում ցույց է տրված հիմքի փլման գեպք. այս գեպքում հորիզոնական պրոյեկցիան և միջին նորմալ Շ լարմագը մնում են անփոփոխ: Լանջի փլմանը դիպրում (նկ. 2) հորիզոնական B<sub>1</sub> պրոյեկցիան էապես կփոխվի (B<sub>2</sub>>B<sub>1</sub>) և փոփոխություն կմտնի նաև Շ-ի հաշվման (3) բանաձեռի մեջ: Մենացորդային պայմանի համար կիրառելով Սկեմպտոնի (1967) հավասարությունը (բն. 5), որտեղ C<sub>1</sub>≈0, կստանանք սահքի դիմադրության դաշտային կարելորագույն պարամետրերից մեկը (բն. 6): Եթե միննույն երկրաբանական պայմաններում դիպրում են եղան երկու կամ ավելի սողանքներ, կարելի է ավելի լրիվ տեղեկություն ստանալ գրումափ սահքի դաշտային փլմագրության մասին:

Առաջի ընդհանրացման համար ենթադրենք, որ առաջին սողանքը հիմքի փլմագը է ներկայացնում, իսկ երկրորդը՝ լանջի փլմագը: Նշենք սահմանական մակերեսի վրա ազդող միջին լարման բազակրիչները. առաջին սողանքի սկզբում Շ<sub>1</sub> ու Շ<sub>1</sub>-ով և Վերջում Շ<sub>1</sub> ու Շ<sub>1</sub>-ով:

Նույնը երկրորդ սողանքի սկզբում Շ<sub>2</sub> ու Շ<sub>2</sub> և Վերջում Շ<sub>2</sub> ու Վերջում պայմանականորեն ընդունված է, որ ծագուակենային մեջումը բացակայում է: Նկ. 3-ում (Շ<sub>1</sub>-Շ<sub>2</sub>) կոորդինատական սիստեմում ցույց են տրված միջին լարմագների դաշտային մեջությունները: Պիկային կետերով տանելով AB ուղղղը, կստանանք փլման Կուլոն—Տերցարիի դաշտային փիճը Շ' և Վ' սահքի դիմագրության պարամետրերով: Նույնը կստարելով մենացորդային պայմաններ համապատասխանող կետերի հետ, կստանանք CD փլման Սկեմպտոնի Շ' և Վ' պարամետրերով: Այս մեթոդը բույլատրում է գնահատել նույն երկրաբանական պայմաններում գտնվող լանջերի

<sup>1</sup> Նկարները, բանաձեռը և աղյուսակը տե՛ս էջ 76—84:

известна вязкость  $\eta_{\text{ж}}$  виноградного сока и коэффициент вязкости  $\eta_{\text{ж}}/R = 0,195$ . Тогда из уравнения (6) получим  $R = 1700$  дж/с<sup>2</sup>.

Из этого уравнения получим

известную вязкость  $\eta_{\text{ж}}$  виноградного сока и коэффициент вязкости  $\eta_{\text{ж}}/R = 0,195$ . Тогда из уравнения (6) получим  $R = 1700$  дж/с<sup>2</sup>.

Из этого уравнения получим  $\eta_{\text{ж}} = 35,0/1700 = 0,0205$  дж/с<sup>2</sup>.

Из этого уравнения получим  $\eta_{\text{ж}} = 35,0/1700 = 0,0205$  дж/с<sup>2</sup>.

Из этого уравнения получим  $\eta_{\text{ж}} = 35,0/1700 = 0,0205$  дж/с<sup>2</sup>.

Երիտասարդ արևնեստական լանջերի փեքը: Շատ երիտասարդ լանջերի համար, օրինակ թարմ լցուած լիքքերի կամ Հոգային ամբարտակների, հանքերի զործող լցակուստերի կամ թարմ փորձած հանվածքների շեմերի համար, որտեղ ինչպիսնամետքի շափումների տևողաբառն համաշափելի է շոշափող լարումների հասակի հետ, անկյունային դեֆորմացիայի նկարագրված որոշման մասեցումը կարող է բերել սխալ հնարակությունների, քանի որ այսուղ հույնիկ շոշափող լարումների հասատուն մնանության գեաքրում կկատարվի սողքի արագության նվազաւում: Շատ երիտասարդ լանջերի համար ինտեղքելով սողքի արագության բարեւածեց, գտնում ենք զրունակ սողքի անկյունային դեֆորմացիան որպես մամանակի ֆունկցիա (բն. 31): Մաթիւմատիկորեն ավելի լավ մեկնաբառնման համար փոխարինում ենք (32) բանաձևով, որտեղ  $\Delta t = \Delta t_1$  մեկ միավորին հավասար փոքր ժամանակամիջոց է, օրինակ  $\Delta t = 1$  վրկ Խնակեղման  $C$  հաստատումը գտնում ենք  $t = t_1$  պահին  $\gamma_1 = \gamma_{t_1}$  պարմանից, որտեղից անկյունային դեֆորմացիայի վերջնական արտահայտությունը կինք (33) բանաձևը: Այսուղեց կարելի է ստանալ զրունակ երկրորդ սեղուզմական պարամետրը՝ սողքի  $C_\zeta$  չտափագործ ցուցիչը (բն. 34): Այս բանաձևի մեջ մտնող սողքի անկյունային դեֆորմացիան ստացվում է անմիջապես  $\gamma$  խորության վրա կատարված ինկլինումետքի շափումներից,  $t$  և  $t_1$  շոշափող լարումների հասակն է (լանջի հասակ), իսկ  $\gamma_{t_1} = \gamma_t$ ՝ ինկինումետքի ցուցմանը: Ակզենտական և վերջնական պահին, համապատասխանողներուն Օգտվելով սողքի  $C_\zeta$  ցուցիչի մեծությունից, (13) բանաձևի օգնությամբ գտնում ենք զրունակ ստատիկական մածուցիկության դաշտային արժեքը և (11) բանաձևի միջոցով նույն զրունակի պինամեկ մածուցիկությունը ցանկացած ժամանակի համար:

## Եղբակացություն

# A APPLICATION OF RESULTS OF RHEOLOGICAL BACK ANALYSES FOR DETERMINING THE SLOPE STABILITY AND DEFORMABILITY<sup>1</sup>

GEORGE TER-STEPANIAN, Prof., Dr. Sc. (Eng.), Corr. Mem. Armen. Ac. Sc.<sup>2</sup>  
and SVETLANA SIMONIAN, Physicist<sup>3</sup>

*Synopsis.* Methods of back analyses of slopes are described; they allow to determine the rheological parameters of the shear strength and the creep of soils in situ. The back analyses of the first time slides corresponding to the initial moment of failure give the values of the peak field shear strength of soils while the calculations for the finite moment of failure give the values of the residual field shear strength. By the analysis of two or more slides being developed in the same geological and hydrogeological conditions it is possible to obtain all parameters of the field shear strength. The derived parameters of shear strength may be used by solution of problems of the slope stability. An example of the back analysis of a failed earth dam is given. The back analyses of slopes being in the depth creep phase permit to determine the rheological parameters of creep, i. e. the creep limit and the viscosity of soils. The formulas for use of the results of the inclinometer measurements on slopes for determining the rheological parameters of creep are brought about. The obtained creep parameters may be used by solution of the slope deformability. The rheological parameters of soils obtained by back analyses are free from limitations caused by the scale effect, by the short duration of laboratory tests and by the influence of structure disturbance at sampling and testing.

<sup>1</sup> Report presented to the Third International Congress on Engineering Geology held in Madrid in 1978 and published in Proceedings of the Congress, pp. 189–196.

<sup>2</sup> Head, Laboratory of Geomechanics IGES, Armen. Ac. Sc.

<sup>3</sup> Senior Engineer, Laboratory of Geomechanics IGES, Armen. Ac. Sc.

## ԳՐԱԿԱՆՈՒԹՅՈՒՆ — ЛИТЕРАТУРА — REFERENCES

- Маслов Н. Н., 1955. Условия устойчивости склонов и откосов в гидроэнергетическом строительстве. М., Госэнергоиздат.
- Скемптон А. У., 1967. Длительная устойчивость глинистых склонов (пер. Г. И. Тер-Степаняна). Проблемы геомеханики, Ереван, 1 : 91—146; (пер. Р. С. Зиангирова). Сб. «Проблемы инж. геологии», М., 4 : 142—176.
- Тейлор Д. В., 1960. Основы механики грунтов. М., Госстройиздат.
- Тер-Степанян Г. И., 1961. О длительной устойчивости склонов. Ереван, Изд. АН Арм. ССР.
- Тер-Степанян Г. И., 1965. Определение реологических характеристик грунтов на склонах. Докл. к VI Междунар. конгр. по механике грунтов и фундаментостроению, М., Госстройиздат, 1974, с. 178; ДАН Арм. ССР, 40(1), 7—12.
- Тер-Степанян Г. И. 1975. Глубинная ползучесть склонов. Studia geotechnica, Wrocław 6(1), 35—45.
- Тер-Степанян Г. И., 1976а. Исследование ползучести глины при сдвиге. Проблемы геомеханики, Ереван, 7, 18—49.
- Тер-Степанян Г. И., 1976б. Теория ползучести глины при сдвиге и ее экспериментальное подтверждение. Труды II Всесоюзного симп. реологии грунтов, Цахкадзор, Ереван, Изд. Еր. гос. ун-та, 74—97.
- Терцаги К. и Пек Р., 1958. Механика грунтов в инженерной практике. М., Госстройиздат.
- Skempton A. W., 1970. First-time slides in over-consolidated clays. Géotechnique, 20(3) : 320—324.
- Skempton A. W., 1977. Slope stability of cuttings in brown London clays. Special Lecture, Ninth Intern. Conf. Soil Mech. Found. Engg., Tokyo, 25—34.